

УДК 523.3

# Интерпретация колориметрических характеристик поверхности Луны на основе модели спектрального хода альбедо порошкообразных поверхностей

Ю. Г. Шкуратов

Модель спектральной зависимости альбедо твердых поверхностей космических тел используется для: 1) оценки спектральной зависимости мнимой части показателя преломления для лунной поверхности в целом; 2) интерпретации диаграммы альбедо — цвет диска Луны; 3) интерпретации «титановой» зависимости Маккорда — Дольфюса. В частности, показано, что разброс значений на диаграмме альбедо — цвет в основном обусловлен вариациями показателя цвета, который характеризует истинное поглощение, а двузначность «титановой» зависимости — уменьшением концентрации поглотителей в частицах светорассеивающего слоя при переходе от морского вещества к материковому.

*INTERPRETATION OF COLORIMETRIC PROPERTIES OF THE MOON ON THE BASIS OF SPECTRAL ALBEDO MODEL FOR POWDERED SURFACES, by Shkuratov Yu. G.—The spectral albedo model is used for: 1) estimation of the spectral dependence of the imaginary refractive index of the Moon; 2) interpretation of the lunar albedo — colour diagram; 3) interpretation of the relationship between titanium content and colour-index of lunar soils. It is shown that the dispersion of the albedo — colour diagram is due to variations of the colour-index which characterizes true absorption.*

Спектрофотометрические (колориметрические) измерения порошкообразной (зернистой) среды, например поверхности Луны или других твердых космических тел, несут информацию не только об оптических параметрах вещества, но и о параметрах дисперсности (структуре) этой среды. Важнейшие оптические параметры вещества частиц среды — величины  $n$  и  $\kappa$  — действительная и мнимая части коэффициента преломления. Под параметрами дисперсности обычно понимают средний размер  $\bar{l}$ , дисперсию размеров частиц и характеристику пористости среды. В общем случае влияние всех этих параметров на спектральный ход альбедо неотделимо друг от друга. Однако при наличии некоторой априорной информации и подходящей теоретической модели светорассеяния в порошкообразных средах иногда удается оценить вклады различных факторов отдельно и выделить главные из них.

В [7] рассмотрена теоретическая модель спектрального хода альбедо порошкообразной среды и представлены результаты лабораторных измерений, подтверждающие эффективность этой модели\*. Здесь мы сосредоточим внимание на использовании отмеченной модели применительно к спектрофотометрии и колориметрии поверхности Луны.

**Оценка  $n(\lambda) + i\kappa(\lambda)$ .** В практике изучения оптических характеристик грунтов Луны или других космических тел часто необходимо знать усредненные оптические параметры вещества. Многочисленные лабораторные исследования образцов лунной поверхности (петрологические, минералого-геохимические) обычно не касались измерений  $n$  и  $\kappa$ . Лишь иногда в работах по этим вопросам встречаются определения  $n$  при одной длине волны для некоторых экзотических частиц грунта, например стекол различной окраски [15]. Никаких данных о спектральной зависимости  $n$  и  $\kappa$  в широком диапазоне длин волн применительно к лунному грунту обнаружить не удалось. Такие данные опубликованы в работах [12, 14] для трех образцов земного происхождения: базальта, стекла базальтового состава и обсидиана. Эти образцы можно рассматривать как некие геохимические аналоги лунного вещества. Путем совместного анализа этих данных и результатов измерений спектрального альбедо Луны, интерпретированных по модели

\* В работе [7, формула (24)] выражение для  $N$  должно иметь вид  $N = \{(1 - R_i)[1 + R_i(1 - A')^2/(2A')]\}^{-1}$ .

светорассеяния [7], мы попытались оценить зависимость  $n(\lambda) + i\chi(\lambda)$  для поверхности Луны в целом.

На рис. 1, а приведена спектральная зависимость альбедо Луны, построенная по данным [2, 4, 8, 11, 13, 16], которые касаются исследований самой Луны и образцов лунного грунта. На графике хорошо видна депрессия в УФ-части спектра ( $\lambda \approx 0.18$  мкм). Она связана с несколькими мощными механизмами поглощения — переносом заряда типа кислород — металл и переходами валентных электронов в зону проводимости. Длинноволновое крыло УФ-депрессии захватывает весь видимый диапазон спектра, простираясь почти до 4 мкм. На этом крыле имеются более слабые депрессии (около 1 и 2.2 мкм), обусловленные электронными переходами  $d - d$  типа в

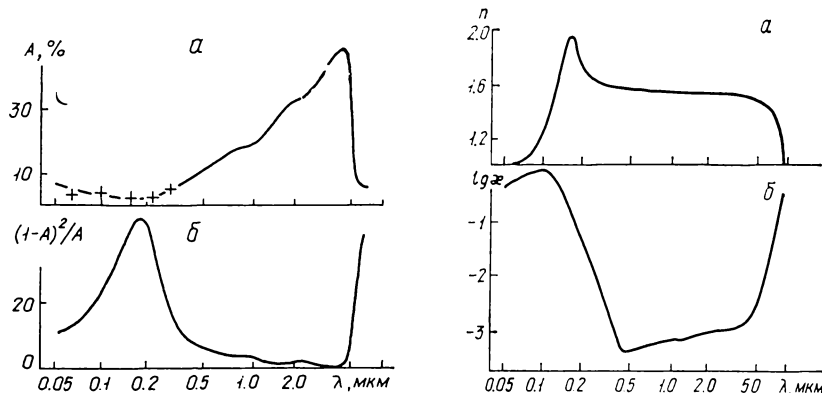


Рис. 1. Спектральное альбедо Луны: а — обычна шкала альбедо; б — функция Кубелки — Мунка. Крестиками обозначены вычисления по формуле (1) с использованием данных [8, 11, 13, 16]

Рис. 2. Спектральная зависимость оптических параметров Луны, построенная по данным лабораторных исследований аналогов грунта [12, 14] и согласованная с результатами измерений спектрального альбедо с помощью модели [7]

ионах  $F^{2+}$ , принадлежащих к минералам пироксенового и оливинового рядов. Для длин волн более 4 мкм альбедо Луны понижается, что в основном связано с «включением» колебательных степеней свободы ионных комплексов.

Рассмотрим более детально происхождение УФ-депрессии в спектре альбедо Луны. На первый взгляд представляется очевидным интерпретировать эту депрессию как обычную полосу поглощения. Например, применение формулы Кубелки — Мунка [3], которая связывает диффузное альбедо рассеивающей среды с объемными коэффициентами поглощения и рассеяния, казалось бы, не оставляет сомнений на этот счет (рис. 1, б). Но, если принять эту точку зрения, возникает проблема, как объяснить значительное увеличение прозрачности частиц лунного грунта в коротковолновой (вакуумной) УФ-области (в условиях, когда действуют очень сильные механизмы поглощения). Более адекватной представляется следующая интерпретация. В области спектра вблизи 0.2 мкм происходит перераспределение вкладов двух компонентов отраженного светового потока: внутреннего (рассеянного внутри частиц) и внешнего (однократно рассеянного поверхностью частиц). В видимой и ближней ИК-области спектра доминирует внутренний компонент, а в области  $\lambda < 0.3$  мкм — внешний. Следовательно, модель светорассеяния [7] можно использовать применительно к лунному грунту только в области спектра приблизительно 0.3—6.0 мкм, причем при расчетах  $\chi(\lambda)$  в столь большом диапазоне необходимо применять априорную информацию о зависимости  $n(\lambda)$ . На рис. 2, а сведены данные работ [12, 14] о  $n(\lambda)$  для земного базальта. При расчетах  $\chi(\lambda)$  по формулам модели [7] в диапазоне 0.3—6.0 мкм мы использовали зависимости  $A(\lambda)$  и  $n(\lambda)$ , приведенные на рис. 1, а и 2, а соответственно. Для расширения спектрального диапазона взяты измерения  $\chi(\lambda)$  земного базальта [12, 14], которые стыковались с расчетными при среднем размере частиц 60 мкм. Это значение согласуется с известными оценками среднего размера частиц лунного грунта [5]. Сводные данные для  $\chi(\lambda)$  Луны приведены на рис. 2, б. В совокупности с зависимостью на рис. 2, а их можно рассматривать в первом приближении как модель опти-

ческих параметров вещества лунной поверхности. Независимым подтверждением применимости к Луне данных [12, 14] для области спектра 0.05—0.3 мкм являются результаты расчетов с их помощью величины альбедо при предположении, что оно формируется эффектами поверхностного отражения. Вычисления проведены по формуле

$$A_0 = [(n - 1)^2 + \kappa]/[4[(n + 1)^2 + \kappa]], \quad (1)$$

которую обычно используют [11] для оценки альбедо шероховатых поверхностей в коротковолновой УФ-области. Результаты приведены на рис. 1, а. Они хорошо укладываются на экспериментальной кривой.

**Диаграмма альбедо — цвет.** Диаграммы альбедо — цвет впервые стали использоваться в планетных исследованиях применительно к Луне для прогнозирования химико-минералогических и физических характеристик ее поверхности. Обзор таких иссле-

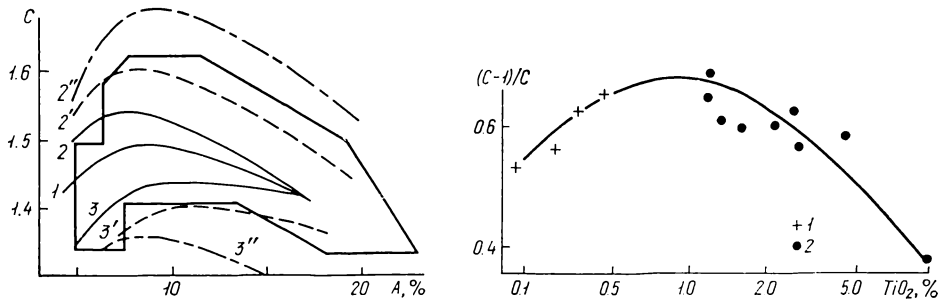


Рис. 3. Диаграммы альбедо (0.63 мкм) — цвет  $C(0.63/0.42$  мкм). Выделенная область соответствует диаграмме для лунного диска, кривые — расчетные данные. Номера отвечают следующим комбинациям параметров модели [7]: 1 —  $n=1.55$ ,  $\mu=0.5$ ,  $k=1.25$ ; 2, 3 — соответственно  $\mu$  равно 0.1 и 1; 2', 3' —  $n$  равно 1.4 и 1.7; 2'', 3'' —  $k$  равно 1.35 и 1.15

Рис. 4. «Титановая» зависимость Маккорда — Дольфюса: 1 — материковое вещество; 2 — морское вещество. Расчетные зависимости построены при следующих значениях параметров в формуле (2):  $a=0.37$ ,  $b=-0.10$ . При расчете  $C(0.65/0.23$  мкм) считалось, что  $\mu=1$ ,  $n$  (0.65 мкм) = 1.55,  $n$  (0.23 мкм) = 1.65,  $k=1$

дований дан в работе [1], в которой представлены также новые наблюдательные данные, касающиеся диаграммы альбедо (0.63 мкм) — цвет  $C(0.63/0.42$  мкм) всего лунного диска.

С помощью формул модели [7] мы рассчитали семейство кривых  $C(A)$ , имитирующих диаграмму альбедо (0.63 мкм) — цвет  $C(0.63/0.42$  мкм). Затем эти кривые совмещались с диаграммой альбедо — цвет Луны. Совмещенные теоретическая и экспериментальная диаграммы приведены на рис. 3. Видно, что расчетные кривые хорошо воспроизводят двузначность зависимости  $C(A)$ . Небольшие вариации параметров модели легко обеспечивают наблюдаемую ширину диаграммы по оси  $C$  и по оси  $A$ . В свете этих данных рассмотрим возможные причины разброса точек на экспериментальной диаграмме (вклад в этот разброс различных погрешностей измерений не учитываем). Величина  $n$  при небольшом интервале изменений (от 1.4 до 1.7, что свойственно силикатам) может порождать заметный разброс точек как по оси  $C$ , так и по оси  $A$ , причем меньшим  $n$  при заданном альбедо соответствует больший показатель цвета. Если учесть, что изменения  $n$  обычно сопутствуют сильным изменениям  $\kappa$ , то представляется маловероятным объяснение разброса точек вариациями  $n$ . Параметр пористости также заметно влияет на вид зависимости  $C(A)$ , но только при очень больших вариациях (от 0.1 до 1) и лишь в области малых значений  $A$  (менее 10%). На лунной поверхности, структура которой в значительной мере гомогенизована воздействием космогенных факторов, вряд ли следует ожидать заметных вариаций  $\mu$ . Единственным параметром, для которого нет ограничений, является  $k=\kappa(\lambda_2)/\kappa(\lambda_1)$ . Это, как и  $C(\lambda_1/\lambda_2)$ , показатель цвета, но выраженный через истинное поглощение. Связь между  $C$  и  $k$  неоднозначна. Последнее означает, что цвет дисперсной среды только в первом приближении характеризует цвет вещества, из которого состоят частицы этой среды. Разброс значений  $C$  и  $A$  на лунной диаграмме, по-видимому, в первую очередь связан с разбросом значений  $\kappa(\lambda_1)$  и  $\kappa(\lambda_2)$  и, как следствие, с вариаци-я

ми параметра  $k(\lambda_1/\lambda_2)$ . Если этот вывод справедлив, то разбиение экспериментальной диаграммы  $C(A)$  линиями  $k=\text{const}$  с последующим отображением областей диаграммы, ограниченных этими линиями, в координатной плоскости исходного изображения — есть способ картографирования параметра  $k$  лунной поверхности.

**«Титановая» зависимость Маккорда — Дольфюса.** В лунном грунте в основном содержится четырехвалентный титан  $\text{Ti}^{4+}$ , который проявляется оптически путем механизма переноса заряда типа  $\text{O}^{2-}\rightarrow\text{Ti}^{4+}$  и  $\text{Fe}^{2+}\rightarrow\text{Ti}^{4+}$ . С этой точки зрения понятна эмпирическая зависимость между показателем цвета  $C(0.56/0.40 \text{ мкм})$  и содержанием титана  $\text{TiO}_2$ , которая обнаружилась [9] в образцах зрелого морского грунта. Эта зависимость дает увеличение содержания  $\text{TiO}_2$  при уменьшении  $C(0.56/0.40 \text{ мкм})$ . В [10] показано, что корреляция  $\text{TiO}_2 — C$  становится более выраженной при расширении спектрального диапазона (Дольфюс исследовал показатель цвета  $C(0.65/0.23 \text{ мкм})$ ) и что для материковых грунтов эта корреляция также существует, но она носит обратный характер. Сводная «титановая» зависимость Маккорда — Дольфюса приведена на рис. 4, на котором хорошо видна двузначность связи  $\text{TiO}_2 — C$ . Качественное объяснение взаимосвязи  $\text{TiO}_2 — C$  дано в [6]. Здесь на основе модели [7] будет представлена ее возможная количественная интерпретация.

Естественно полагать, что величина  $\kappa$  (или  $\tau = 4\pi\bar{I}\kappa/\lambda$ ) связана монотонной зависимостью с концентрацией  $\text{Ti}$ . Линейную связь (закон Бэра) здесь предполагать трудно, так как в случае лунного грунта мы имеем дело с большими концентрациями поглотителей. Предположим, что эту связь можно описать эмпирической формулой

$$\tau = a(\text{TiO}_2 [\%])^m + b. \quad (2)$$

Поскольку величины  $C$  и  $\tau$  связаны двузначной зависимостью, то и связь  $\text{TiO}_2 — C$  будет двузначной. При  $a=0.37$ ,  $b=-0.10$  и  $m=1/3$  расчетная кривая наилучшим образом согласуется с экспериментальными данными (рис. 4). Интересно отметить, что величина  $\tau$  в этом случае оказалась пропорциональной не объемной, а линейной концентрации поглотителей ( $m=1/3$ ). Итак, мы показали, что «титановая» зависимость Маккорда — Дольфюса может быть обусловлена не изменениями профиля полос  $\text{O}^{2-}\rightarrow\text{Ti}^{4+}$  или  $\text{Fe}^{2+}\rightarrow\text{Ti}^{4+}$  (при расчете полагалось  $k=\text{const}$ ), а значительно более грубым эффектом, связанным с уменьшением концентрации поглотителей в светорассеивающем слое при переходе от морского вещества Луны к материковому.

- Бондаренко Н. В., Шкуратов Ю. Г., Акимов Л. А., Корниенко Ю. В. Диаграмма альбедо — цвет лунной поверхности // Кинематика и физика небес. тел.—1985.—1, № 6.—С. 3—11.
- Дементьев Б. В., Марков М. Н. Инфракрасное излучение и спектроскопия Луны и лунного грунта // Инфракрасное излучение в атмосфере Земли и в космосе.—М.: Наука, 1978.—С. 169—203.—(Тр. Физ. ин-та АН СССР; Т. 105).
- Иванов А. П. Оптика рассеивающих сред.—Минск: Наука и техника, 1969.—592 с.
- Маккорд Т. Б., Адамс Дж. Б. Использование наземных телескопов для определения состава поверхности тел Солнечной системы // Космохимия Луны и планет / Ред. А. П. Виноградов.—М.: Наука, 1975.—С. 547—573.
- Флоренский К. П., Базилевский А. Т., Николаева О. В. Лунный грунт: свойства и аналоги. Модель 1974 года.—М.: Ин-т геохимии и аналитической химии АН СССР, 1975.—72 с.
- Шкуратов Ю. Г. Цветовые различия и содержание химических элементов в грунтах лунной поверхности // Астрон. вести.—1982.—16, № 2.—С. 69—76.
- Шкуратов Ю. Г. Модель спектрального хода альбедо твердых поверхностей космических тел // Кинематика и физика небес. тел.—1987.—3, № 5.—С. 39—46.
- Carver J. H., Horton B. H., McCoy D. G. et al. Comparison of lunar ultraviolet reflectivity with that of terrestrial rock samples // Moon.—1975.—12, N 1.—P. 91—100.
- Charette M. P., McCord T. B., Pieters C., Adams J. B. Application of remote spectral reflectance measurements to lunar geology classification and determination of titanium content of lunar soils // J. Geophys. Res.—1974.—79, N 2.—P. 1605—1613.
- Dollfus A., Cailleux A., Hua C. T. Remote sensing of  $\text{TiO}_2$  on planets and satellites // Lunar and Planetary Sci. Conf. (abstrs).—Houston: LPI / USRA press, 1979.—P. 303—305.
- Henry R. C., Fastie W. G., Lucke R. L., Hapke B. W. A far-ultraviolet photometer for planetary surface analysis // Moon.—1976.—15, N 1.—P. 51—65.
- Lamy P. L. Optical properties of silicates in the far ultraviolet // Icarus.—1978.—34, N 1.—P. 68—75.

13. McCord T. B., Clark R. N., Hawke B. R. et al. Moon : near-infrared spectral reflectance, a first good look // J. Geophys. Res.—1981.—86, N 6.—P. 10883—10892.
14. Pollack J. B., Toon O. B., Khare B. N. Optical properties of some terrestrial rocks and glasses // Icarus.—1973.—19, N 3.—P. 372—389.
15. Taylor S. R. Lunar science : the post-Apollo area.—New York : Acad. press, 1975.—361 p.
16. Wu H. H., Broadfoot A. L. The extreme ultraviolet albedos of the planet Mercury and of the Moon // J. Geophys. Res.—1977.—82, N 5.—P. 748—751.

Астрон. обсерватория  
Харьков. ун-та им. А. М. Горького

Поступила в редакцию 17.03.87,  
после доработки 01.06.87

## РЕФЕРАТЫ ДЕПОНИРОВАННЫХ РУКОПИСЕЙ

УДК 523.32

### ЧИСЛЕННОЕ МОДЕЛИРОВАНИЕ СОЗРЕВАНИЯ И УДАРНОЙ СЛОИСТОЙ СТРУКТУРЫ ЛУННОГО ГРУНТА / Евсюков Н. Н.

(Рукопись деп. в ВИНИТИ; № 8031-В87)

Показано, что полное созревание кристаллических лунных пород, соответствующее содержанию стекол более 70 %, достигается для реальной плотности кратеров и типичных скоростей ударов только при круtyх распределениях кратеров по размерам (показатель степени более 3.3). Приведены примеры многослойной ударной структуры лунного грунта.

УДК 523.32.4

### ЧИСЛЕННОЕ МОДЕЛИРОВАНИЕ СОЗРЕВАНИЯ ГРУНТА НА БЕЗАТМОСФЕРНЫХ КОСМИЧЕСКИХ ТЕЛАХ / Евсюков Н. Н.

(Рукопись деп. в ВИНИТИ; И 8032-В87)

Показано, что даже при оптимальных условиях созревания грунта путем его переплавления метеоритными ударами высокая степень зрелости, соответствующая содержанию стекол более 70 %, может быть достигнута лишь на космических телах диаметром более 50 км. При этом доля вещества, выброшенного метеоритным ударом и потерянного планетой, не превышает 15 % объема выброса. Толщина слоя, потерянного таким космическим телом за время порядка  $4 \cdot 10^9$  лет, составляет примерно 1 м, для тел диаметром 1 км — около 10 м.